

## 【ポスター発表】領域拡大フーリエ変換ホログラフィーイメージング法の開発

富士通/富士通研究所 淡路直樹

BL16XU、BL25SU

近年、先端の放射光光源に加え、X線自由電子レーザーや卓上型X線レーザーの開発が進んでおり、これらのコヒーレント(干渉性)X線を用いたナノ材料分析への関心が高まっている。2004年、Dr. EisebittはX線マスク・試料一体型の測定試料を用いた軟X線レンズレス・フーリエ変換ホログラフィー法を開発し、垂直磁化膜の磁気ドメイン・イメージングを報告した。<sup>[1]</sup>その後、この方法はアレイ型リファレンスを用いたワンショット・イメージング<sup>[2]</sup>や、生物試料への適用<sup>[3]</sup>などに展開されている。一方、この方法を種々のナノ試料の測定に適用する場合の問題点は、一体型試料の作製が困難であること、試料の分析視野が横コヒーレンス長の制限等により約 $2\text{ }\mu\text{m}$  径と狭いこと、さらに分析位置は固定されることである。今回、我々はX線マスク部と試料部を分離し、精密ピエゾステージにより、接触状態で相互に移動できる方法を開発した。その結果、視野の拡大や測定場所が選択できるとともに、X線マスクは再利用でき、試料の作製も容易になった。この方法を BL25SUにおいて 778 eV の軟X線に適用し、Co/Pt 垂直磁化膜の磁気ドメインの広領域測定に成功した。一方、BL16XUにおいて、5500 eV の硬X線を用いて、0.23ミクロン幅の Cu配線の測定を試み、その断面イメージングに成功した。イメージ端部の 10~90%強度変化から評価した空間分解能は、軟X線では 42nm、硬X線では 75nm であった。<sup>[4]</sup>

本実験は、文科省 XFEL 利用推進プロジェクト、「物質のフェムト秒物理・化学現象解析のためのX線散乱計測技術」の一環として、東北大学、JASRI、富士通の共同で行った。

# 領域拡大フーリエ変換ホログラフィー<sup>1</sup> イメージング法の開発

○淡路直樹<sup>1</sup>、野村健二<sup>1</sup>、土井修一<sup>1</sup>  
磯上慎二<sup>2</sup>、角田匡清<sup>2</sup>  
児玉謙司<sup>3</sup>、鈴木基寛<sup>3</sup>、中村哲也<sup>3</sup>

<sup>1</sup>富士通株式会社

<sup>2</sup>東北大学

<sup>3</sup> JASRI/SPring-8

# X-ray coherent imaging

FUJITSU

## Coherent sources

Synchrotron radiation

Table top high harmonic laser

X-ray free electron laser (XFEL)



## Application to Imaging

Nanomaterials

biological specimens

## Fourier transform holography (FTH)

1974 S.Aoki and S.Kikuta, first x-ray hologram

Jpn. J. Appl. Phys. **13** (1974) 1385.

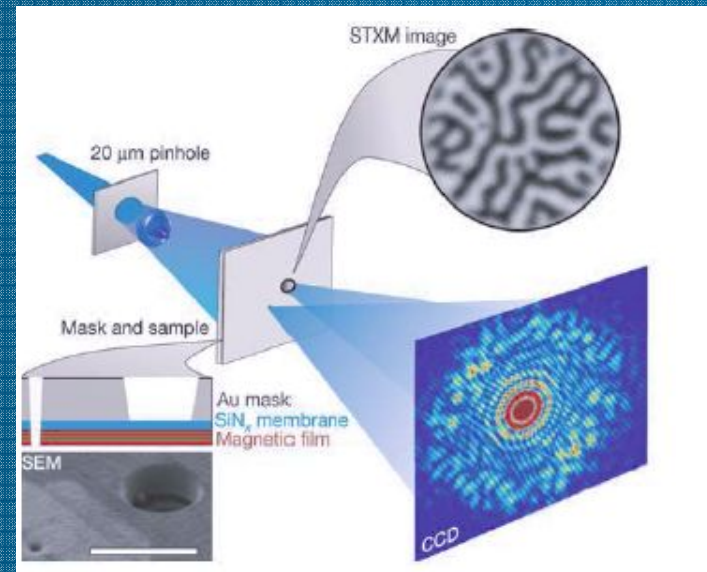
2004 S. Eisebitt et al., Observed magnetic domain using soft x-ray FTH

2008 S. Marchesini et al., Massively parallel x-ray holography: Nat. Photonics **2** (2008) 560.

2009 E.Guehrs et al., Biorogical specimens, Opt. Exp. **17** (2009) 6710.

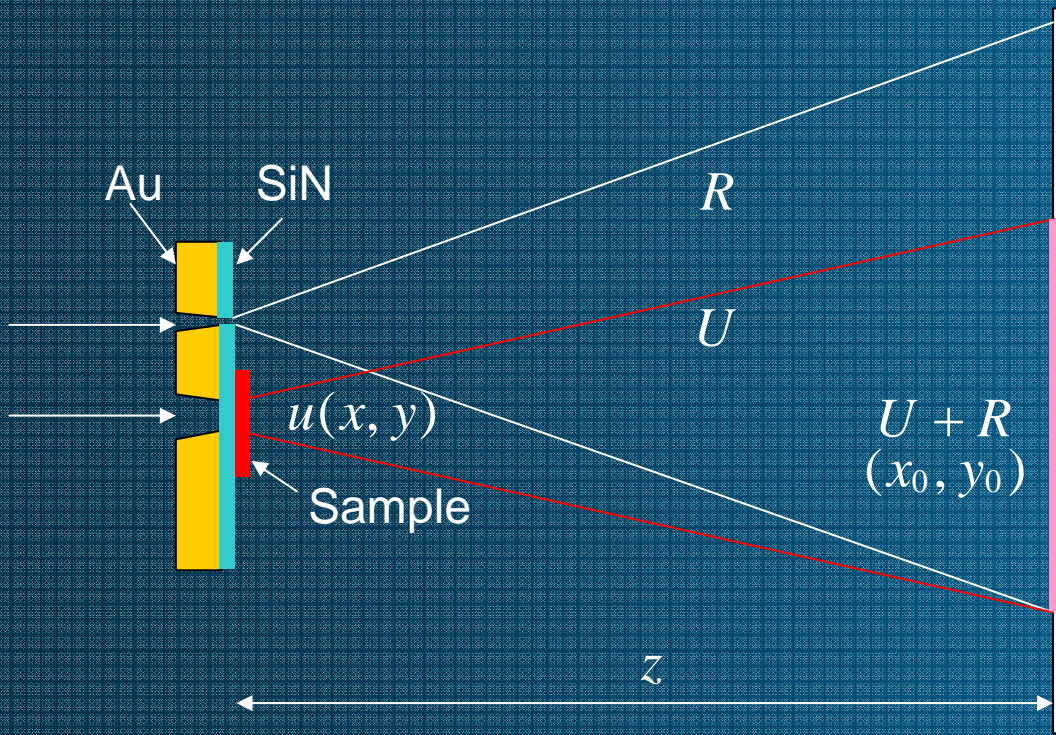
## Technical features

- Simple image recovery
  - 50nm spatial resolution (10-90%)
  - Magnetic structure based on MCD effect
- Suitable for one shot imaging



S. Eisebitt, J. Lüning, W. F. Schlotter,  
M. Lörgen, O. Hellwig, W. Eberhardt,  
and J. Stöhr,  
Nature (London) **432** (2004) 885.

# Lens-less FTH using integrated samples



## Weak points as a microscope

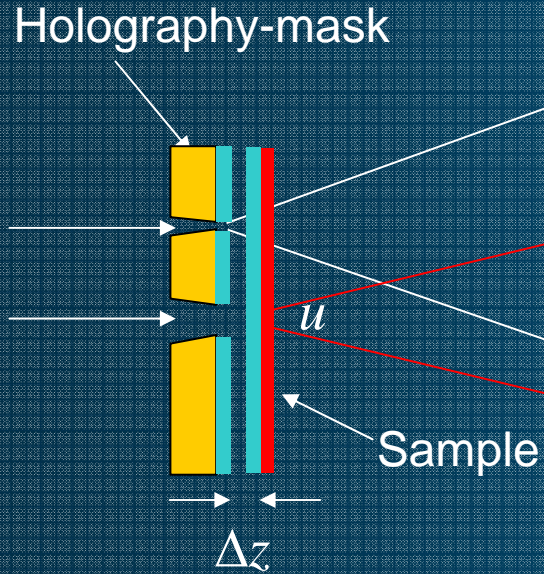
Difficult sample preparation

Limited field of view (transverse coherence length  $\xi_T \sim 2\mu\text{m}$ )

Observation area can not be changed

$$\begin{aligned}|U + R|^2 &= |U|^2 + |R|^2 + \\U \times R^* + U^* \times R \\R(x_0, y_0) &= \exp\left(ik \frac{(x_0^2 + y_0^2)}{2z}\right) = C(x_0, y_0) \\U(x_0, y_0) &= \iint u(x, y) \frac{z}{r^2} \exp(ikr) dx dy \\&= C(x_0, y_0) \cdot FT(u(x, y)) \\U(x_0, y_0) \times R^*(x_0, y_0) &= FT(u(x, y)) \\\therefore u(x, y) &= FT^{-1}(U \times R^*)\end{aligned}$$

# Holography-mask and sample separated FTH



**In case of finite  $\Delta z$  :**  
Need focus correction  
Degradation due to finite  $\xi_L$   
Relative vibration

$$U(x_0, y_0) \times R^*(x_0, y_0) = \Delta C \times FT(u(x, y))$$

$$\Delta C(x_0, y_0) = \exp\left(ik \frac{(x_0^2 + y_0^2)}{2} \frac{\Delta z}{z(z + \Delta z)}\right)$$

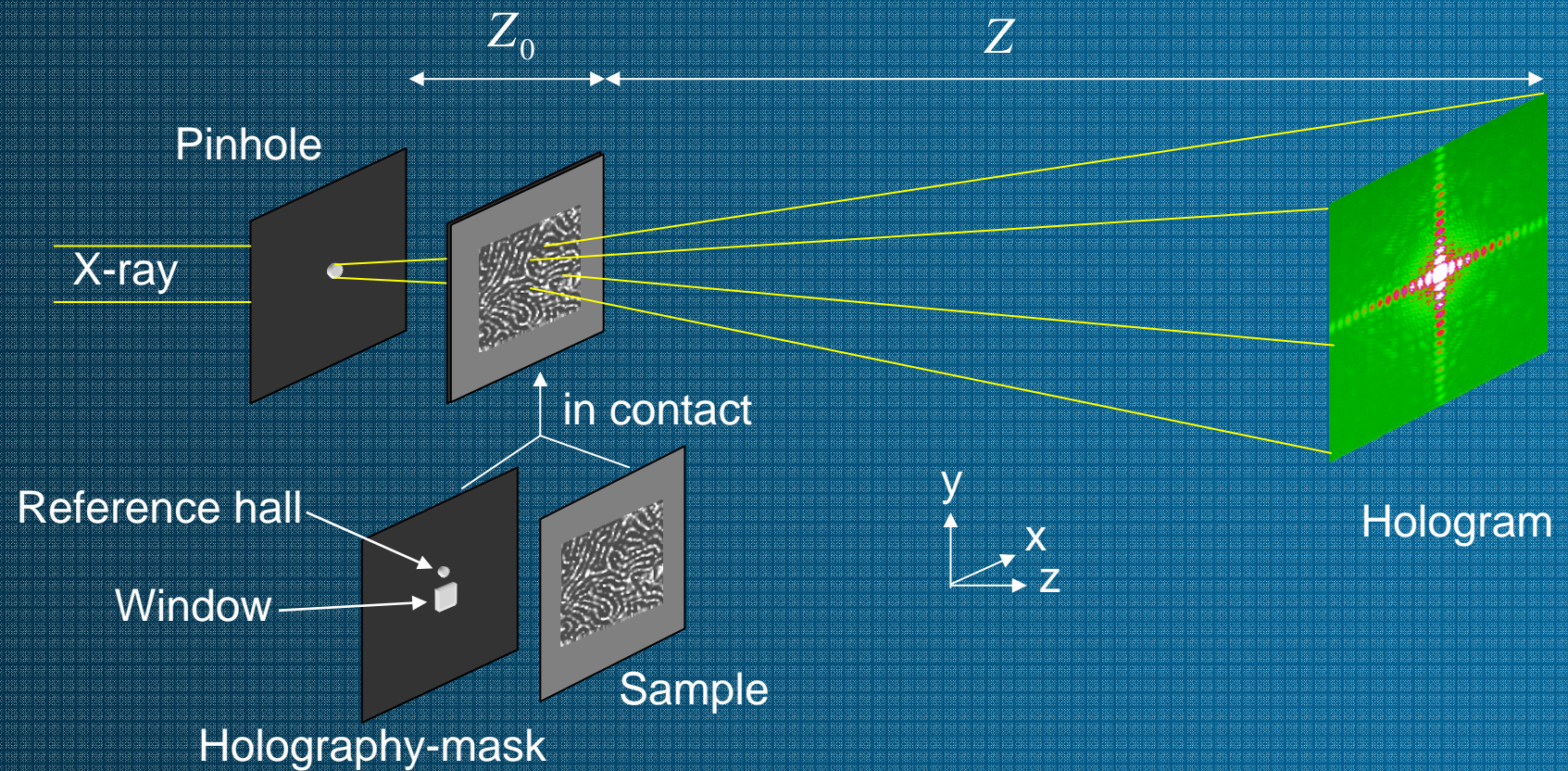
$$\therefore u(x, y) = FT^{-1}(U \times R^* / \Delta C)$$

**In contact:**  $\Delta z \rightarrow 0$   
No focusing correction  
No degradation by  $\xi_L$   
Suppresses relative vibration

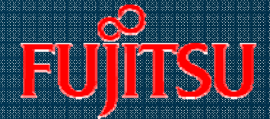
→ **We chose contact mode**

# Experimental configuration

FUJITSU

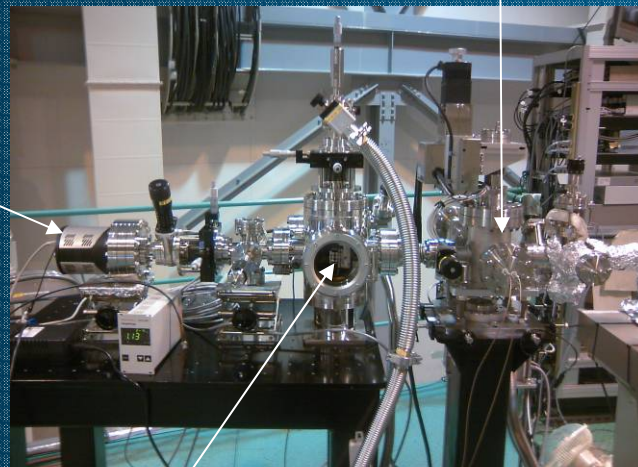


# Soft x-ray FTH of Co/Pt magnetized film



Charge structure &  
Magnetic structure (MCD)

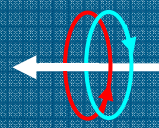
CCD  
PI-SX2048B



Piezo-stage  
ANT200/RT/UHV/NUM

Pinhole/shutter

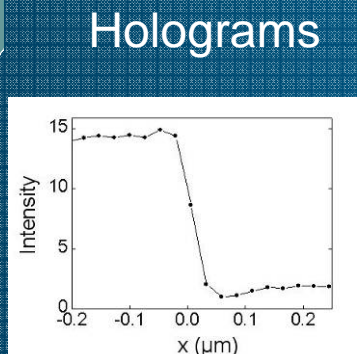
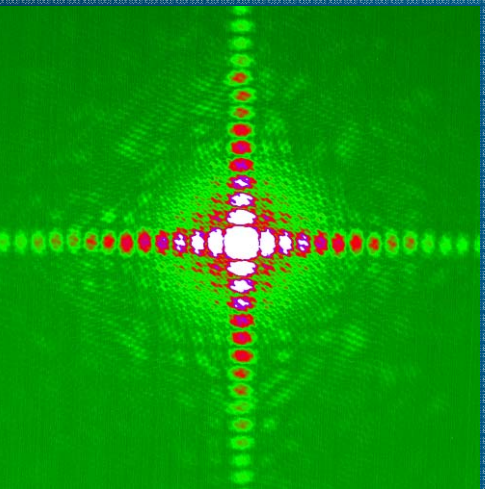
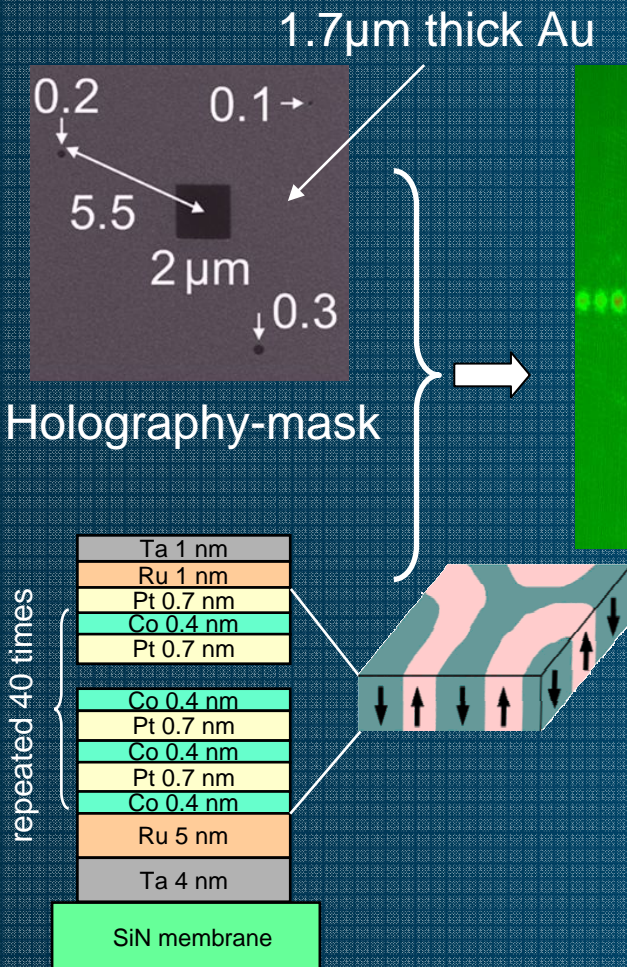
Circularly polarized soft x-ray  
SPring-8 BL25SU



{  
Co L3 edge: 778 eV  
 $Pinhole = 20 \mu m$   
 $Z_0 = 370 mm$   
 $Z = 496 mm$

# Magnetic domain of Co/Pt film

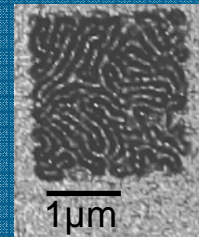
FUJITSU



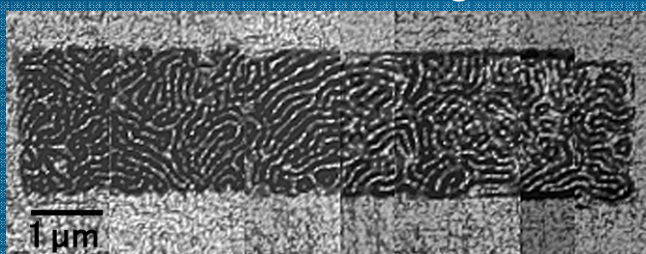
Edge response  
Spatial resolution  
42nm (10-90%)

Image<sub>R</sub> - Image<sub>L</sub>

invFFT



7 images

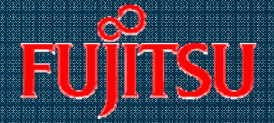


Succeeded in obtaining 8 μm  
Image (A bird's-eye view)

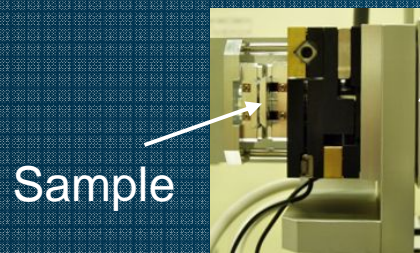
N. Awaji et. al.,  
Appl. Phys. Express, 3, (2010) 085201.

Recent report using a circular  
shaped window: D. Stickler et al.,  
Appl. Phys. Lett. 96 (2010) 042501.

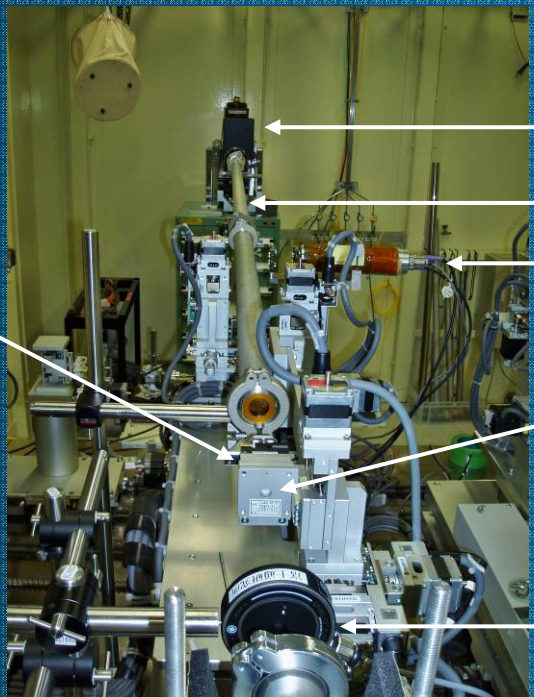
# Hard x-ray FTH



High penetration power  
Measurement in the air



Sample  
Piezo-stage  
ANT200/RT/NUM

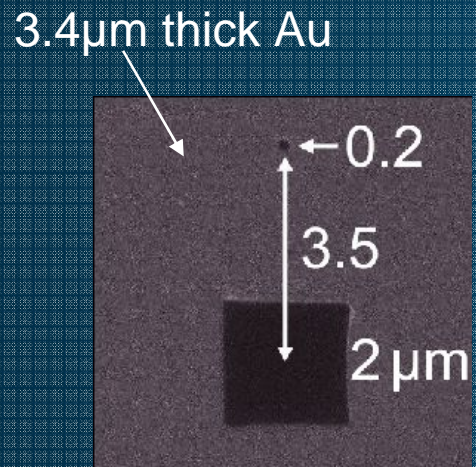


Undulator x-ray of SPring-8  
BL16XU (SUNBEAM)

CCD(PI-LCX1300)  
Vacuum pipe  
Photomultiplier  
Pinhole  
Shutter

$$\left\{ \begin{array}{l} \text{Energy} = 5500 \text{ eV} \\ \text{Pinhole} = 10 \mu\text{m} \\ Z_0 = 50 \text{ mm} \\ Z = 3040 \text{ mm} \end{array} \right.$$

# Artificially patterned sample

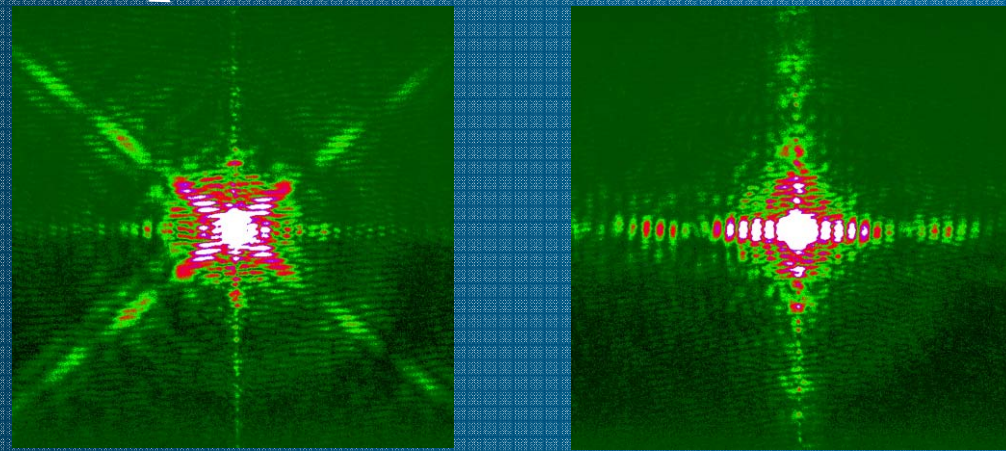


Holography-mask

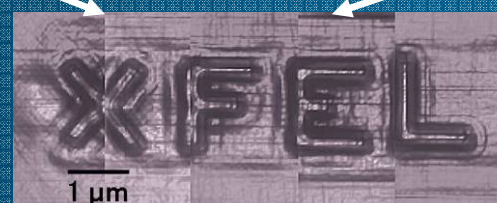
SEM image of artificially patterned sample



1.7 $\mu\text{m}$  thick Au



Holograms

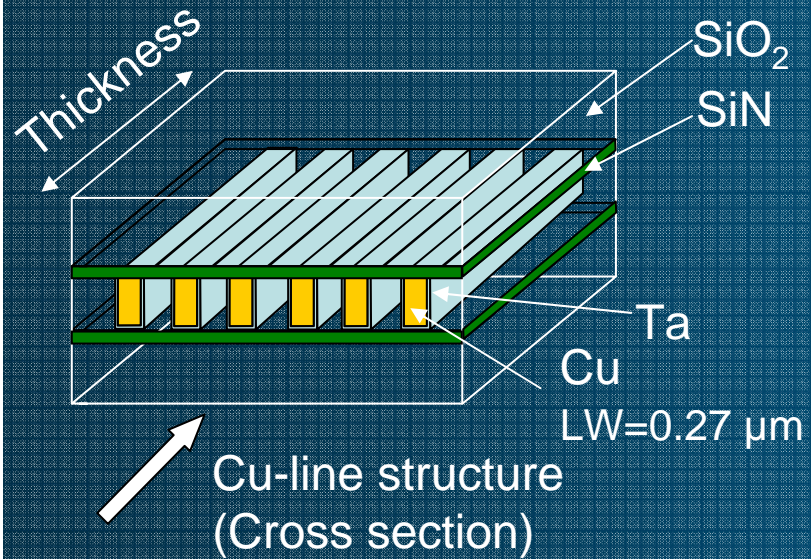


Combined 5 images

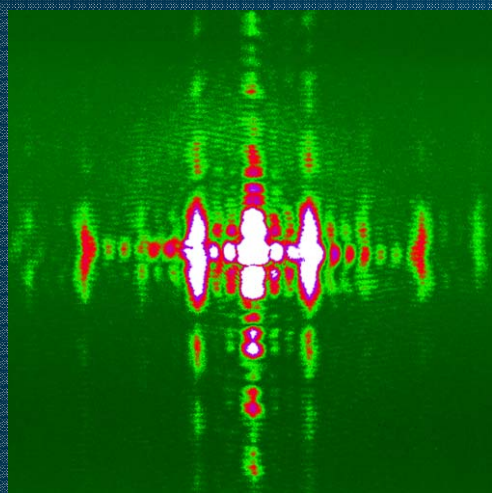
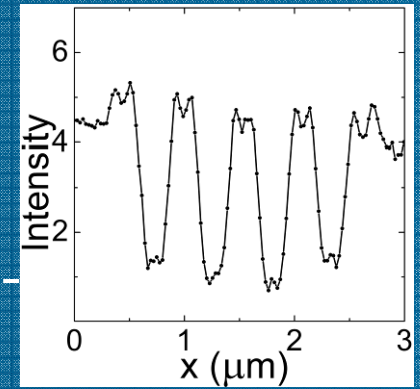
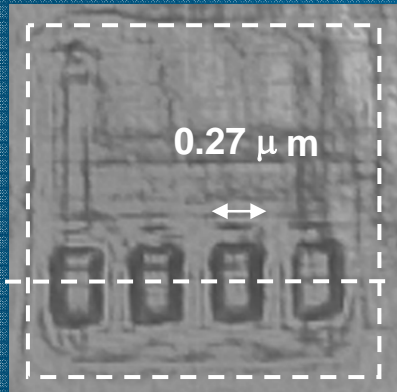
Image of 7  $\mu\text{m}$  area  
(A bird's-eye view)

# Cross sectional image of Cu-interconnect-line

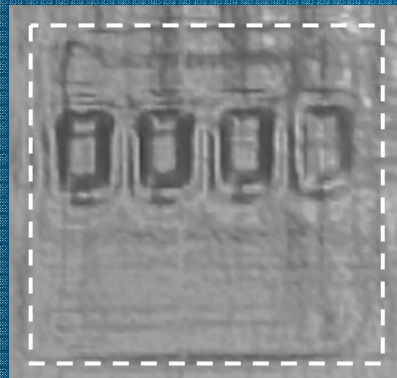
FUJITSU



2  $\mu\text{m}$  thick sample



Hologram



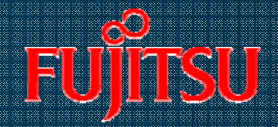
Reconstructed image  
(A bird's-eye view)

Line intensity on the  
Cu cross section

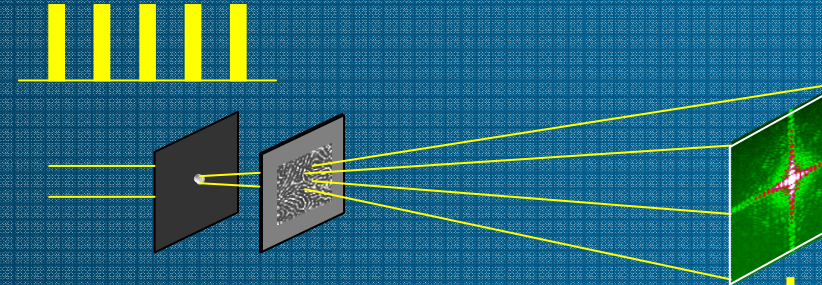


Spatial resolution  
75 nm (10-90%)

In the future



XFEL



XFTTH



Real-time movies



Super computer

# Summary and Conclusion



We succeeded in large area FTH imaging in both soft x-ray and hard x-ray.

The obtained spatial resolution of the image was 42 and 75 nm at 778 and 5500 eV, respectively.

N. Awaji et. al., Appl. Phys. Express, 3, (2010) 085201.

An arbitrary selectable view area of this method in addition to the robust imaging based on FTH will provide the realtime imaging for nanomaterials and biological specimens in the future.

The experiments were performed at BL25SU and BL16XU in SPring-8 with the approval of the Japan Synchrotron Radiation Research Institute (JASRI) under proposal Nos. 2008A1513, 2009A1840, 2009B1844, and 2009B5110. This study was supported by the promotion program of XFEL research by ministry of education, culture, sports, science and technology (MEXT).